

BALÇOVA KAPLICALARI VE TÜRKİYE'NİN İLK JEOTERMAL SONDAJLARI

Erman ŞÂMİLGİL

Yıldız Üniversitesi, Kocaeli Mühendislik Fakültesi

ÖZET: Balçova Kaplıcaları yöreni, tarihî ve turistik değerlerinin yanısıra, balneoloji ve ser tarımı bakımlarından da yüksek bir potansiyele sahiptir. Yöreneki terapötik özellikli sıcak suların gerek debisini, gerekse sıcaklığını (dolayısıyle termal kapasitesini) sondajlarla arttırmak, MTA'nın 1962 yılından bu yana hedeflerinden birisi olmuştur. Böylece 1962 yılında yapılan jeolojik ve jeofizik etüdlere göre saptadığımız lokasyonlarda 1963 yılında yaptığımız sondajlarla, Türkiye'de ilk defa sıcak su-buhar karışımı jeotermal akışkan elde edilmiştir. Birinci sondajda 40 m. gibi sıg bir derinlikte 124°C sıcaklığına erişilmiş, 100 ton/saat debideki akışkan 35 m. arteziyen basıncı ile püskürmüştür.

Gerek bu sondajın, gerekse benzer sonuç veren ikinci sondajın suları, düşük konsantrasyonlu, bikarbonat-sodik olup aynı zamanda enkrüstif olduklarından sondajlar kısa sürede CaCO_3 , kabuklaşması sonucu tıkanmışlardır. Daha sonra 1982 yılında 1 nolu sondajın tıkanıklığı giderilerek sağlanan sıçak su yeni kaplıca tesislerinde kullanım ve banyo şebekesine tahsis edilmiştir.

Bu arada, saptadığımız diğer 15 lokasyonun bir kısmında yeni sondajlar açılmış olup bunlardan ikisisinden, eşanjör sistemiyle sağlanan temiz, sıcaksu, 9 Eylül Üniversitesi'nin kampüsünün isıtılmasına tahsis edilmiştir.

Jeolojik bakımdan, sıcak su kaynakları ve kaplıca işletmeleri Üst Kretase yaşı İzmir flişinin oluşturduğu horstun kuzey yamacındaki yamaç molozu veya birikinti konisi üzerindedir. Bu kesimin kuzeyi ise alüyal bir ovadır. Hemen güneydeki tepeleri oluşturan flişin egemen unsurları, killiçist, kumtaşı, fillit, reyjonal metamorfik kireçtaşı, tektonik bresleşmeye uğramış kireçtaşı, albit-sist, kuvarsists, kalksist, serisit sist ve radyolaritlerdir. Sıcak su kaynakları, E-W ve NNE-SSW doğrultulu iki fay sisteminin kesim noktalarında yer almışlardır.

Kaynak ve sondaj sularının tip analizi: ($\text{HCO}_3^- = 610$; $\text{SO}_4^{2-} = 168$; $\text{Cl}^- = 206$; $\text{Ca}^{2+} = 12$; $\text{Mg}^{2+} = 4$; $\text{K}^+ = 26$; $\text{Na}^+ = 403$; $\text{Fe}^{3+} = 1.5$; $\text{Al}^{3+} = 0.3$; $\text{H}_2\text{SiO}_4 = 200$) mg/l düzeyinde ve $\text{pH} \approx 6.9$ civarındadır.

Reservuar sıcaklığının yaklaşık hesabı için S.1 sondaj suyuna uyguladığımız iotermometrik yöntemlere göre:

No. K-Ca yöntemi ile, $t = 196^\circ$, 1C,

$t_1 = 165^{\circ},6C$

-Na/K yontemmen no: t₁ = 160° 80

$t_2 = 160^\circ$, 9°C

- SiO_2 yöntemi ile: $t_1 = 169^\circ$, 8 °C,

$$t_2 = 180^\circ, 5 \text{ C},$$

$t_1 = 158^\circ$, 9 C

gibi, jeotermal enerji bakımından old
1000 m civarında bir der

lunuyoruz. 1000 m. civarında bir der
tibbet karışımı elde edilebileceği inan-

Dünya Karışımı Ede Sanki Bir Yer

Digitized by srujanika@gmail.com

LES THERMES DE BALÇOVA (İZMİR)
ET LES PREMIERS SONDAGES
GÉOTHERMIQUES DE LA TURQUIE

Par :

Doç. Dr. Erman ŞAMILGİL*

RESUME: La région des Thermes de Balçova (İzmir) possède une certaine valeur agricole et balnéologique aussi bien que touristique et historique. Augmenter par sondages le débit et la température, donc la capacité thermale des sources de valeurs thérapeutiques, a été l'un des buts essentiels du MTA depuis 1962. Ainsi, à la suite des études géologiques et géophysiques, le premier fluide géothermal obtenu par sondage abouti à 124 °C à 40 m. a donné 100 m³/h d'eau chaude+vapeur, avec une hauteur artésienne de 35 m. environ. Le second sondage aussi a donné un résultat très semblable.

Les eaux sont bicarbonatées-sodiques, de faible concentration. Pourtant elles ont été très incrustives de sorte que tous les deux sondages ont été entièrement bouchés par l'aragonite. Plus tard, en 1982, l'on a débouché le premier sondage et le fluide géothermal ainsi obtenu a été canalisé aux Thermes de Balçova. En même temps, l'on a foré encore dans une dizaine de locations que nous avions fixées, et l'on leur a adapté des échangeurs. L'eau pure chauffée ainsi obtenue est analysée aux systèmes de chauffage du Campus de la Faculté des Médecines.

Au point de vue géologique, les sources chaudes et les thermes se situent sur les cônes de déjection septentrional d'un horst formé du flysch d'Izmir du Crétacé sup. Au nord, une plaine alluviale s'étale jusqu'à la mer. Les unités les plus rencontrées du flysch au sud des Thermes sont les schistes argileuses, grès, phyllites, calcaires cristallisés, brèches tectoniques, albite-schistes, quartzschistes, calc-schistes, séricite-schistes et rhadiolarites. Les sources chaudes se situent aux intersections de deux systèmes de failles: E-W et NNE-SSW.

L'analyse chimique représentative des eaux de sources et de sondages est comme suit: ($\text{HCO}_3 = 610$; $\text{SO}_4 = 168$; $\text{Cl} = 206$; $\text{Ca} = 12$; $\text{Mg} = 4$; $\text{K} = 26$; $\text{Na} = 403$; $\text{Fe} = 1.5$; $\text{Al} = 0.3$; $\text{H}_2\text{SiO}_3 = 200$) mg/l et le pH≈6.9

Pour l'estimation de la température du réservoir, nous avons appliqué différentes méthodes géothermométriques à l'analyse de l'eau du sondage S.1 et nous avons obtenu les résultats suivants:

-d'après Na-K-Ca :	$t = 196^\circ, 1 \text{ C}$
-d'après Na/K :	$t_1 = 165^\circ, 6 \text{ C}$
	$t_2 = 160^\circ, 9 \text{ C}$
-d'après SiO ₂ :	$t_1 = 169^\circ, 8 \text{ C}$
	$t_2 = 180^\circ, 5 \text{ C}$
	$t_3 = 158^\circ, 9 \text{ C}$

Ces résultats ne sont pas mal du tout au point de vue d'énergie géothermale. Nous espérons obtenir d'eau chaude+vapeur, par des sondages de 1000 m. de profondeur environ.

* Université de Yıldız, Faculté d'ingénierie de Kocaeli, IZMIT.

GİRİŞ

İzmir'in 10 km kadar batısında yer alan Balçova (eski adıyla Agamemnon) Kaplıcaları, Homeros'un İlyada adlı eserinden anlaşıldığına göre yaklaşık 2800 yıllık bir geçmişe sahiptir. Yörenin tarihi ve balneolojik değerinin yanısıra iç ve dış turizme son derece uygun coğrafik özelliklere de sahip olması nedenleriyle, sıcak suların debi ve sıcaklığını (dolayısıyla termal kapasiteyi) sondajlarla artırmak, M.T.A'nın 1962 yılından bu yana hedeflerinden birisi olmuştur.

Böylece 1962 yılında yapılan hidrojeolojik ve jeofizik etüdler, tarafımızdan ayrıntılı bir şekilde yorumlamaya tabi tutularak en uygun sondaj lokasyonları saptanmış, bu lokasyonlarda 1963 yılında yaptığımız sondajlarla Türkiye'de ilk defa sıcaksu-buhar arteziyenleri elde edilmiştir.

Bu sondajların suları enkrüstif olduklarından kısa sürede sondaj borularında kireç kabuklaşması yapmışlardır. Daha sonra S.I sondajının tıkanıklığı giderilerek sağlanan sıcak su yeni kaplıca tesislerinde kullanım ve banyo şebekesine tahsis edilmişdir. Bu arada başka sondajlar da açılmış olup, bunlardan ikisinden eşanjör sistemiyle sağlanan temiz, sıcak su, 9 Eylül Üniv. Tıp. Fakültesi kampüsünün ısıtmasına tahsis edilmiştir.

Bu bildirimizde yörenin jeolojisine de-ğindikten sonra, sondaj yerlerinin seçiminde hangi hidrojeolojik ve jeofizik esaslara dayandığımızı, sondajların sonuçlarını, hidrojeokimyasal özellikleri ve sonuç bölümünde potansiyel saptamamızı ve önerilemizi özetlemeye çalışacağız.

JEOLÖJİ

Sıcak su kaynaklarının ve kaplıca isletmelerinin bulunduğu vadi, Üst Kretase yaşı "İzmir Fliş" ile, bunların "yamaç molozu" üzerinde yer alır. Bu fliş, Urla ve Çubuklu Dağ grabenleri ile sınırlı Dededağ horstunun kuzey kesimini oluşturur (Ek-1).

Flişin bu kesimdeki egemen unsurları killi şist, kumtaşı, fillit, reyonal metamorfik kireçtaşları, tektonik bresleşmeye uğramış kireçtaşları, albitşist, kuvars-şist, kalkşist, serisit-şist ve radyolaritlerdir.

Kaynaklardan 5 km. kadar doğudaki Üçkuyular'dan başlayarak Kadife Kale'ye doğru uzanan volkanitler andezit, aglomerat ve tüflerden kurulu olup büyük olasılıkla Pliyosen-Pleistosen yaşlıdır.

Kaynakların bulunduğu kesimden itibaren oldukça kalın bir birikinti konisi yer alır ve bu malzeme, kuzeye gittikçe alüvyal ovayı dolduran, daha küçük taneli (çakıl, kum, silt ve kil karışımı) malzemeye dönüşür.

Tektonik bakımdan İzmir flişi dinamometamorfizma geçirmiştir olup Alp orojeninin son safhalarından etkilenmişlerdir. Bu nedenle önemli kırılma ve ezilmeler, yer yer de kıvrımlanmalar görülür. Başlıca faylar kaynakların hemen güneyinden geçen ESE-WNW doğrultulu ve kuzeye eğimli F1 fayı ile, yine kaynaklardan geçen NNE-SSW doğrultulu ve 85° NW eğimli F2 fayıdır. F1 fayının kuzeyinde yer almış olan yamaç molozları, faylanması sonucu yükselmiş olan güney kompartmandaki fliş materyelinin akmasıyle oluşmuştur.

Fliş içerisindeki tabakalar genellikle NE-SW doğrultulu ve $40^{\circ}-70^{\circ}$ NW eğimlidir.

Fliş içerisinde gerek kırık ve çatlakların yoğun oluşu, gerekse kumlu ve kalkerli tabakaların sık sık tekrarlanması nedeniyle, fayların derinlerden getirdiği sıcak suyun dolaşımına ve yataklanmasına uygun birincil ve ikincil poroziteli ortamlar oluşmuştur.

HİDROJEOLOJİK VERİLER

S. Serruya'nın Hidrojeoloji raporundan yararlanarak çizilen EK-2, Balçova'da mevcut kaynak ve kuyularda yapılmış ölçülere göre sıcaklık dağılım haritasını, Ek 3, yeraltı su tipleri dağılım haritasını, Ek 4, toplam tuzluluğun değişim haritasını ve EK 5, Bor dağılımı haritasını temsil etmektedirler.

Bu haritalar arasında kayda değer bir benzerlik göze çarpmaktadır. Şöyled ki gerek sıcaklıklar, gerek toplam tuzluluk, gerekse Bor konsantrasyonu, F_1 ve F_2 ana fayalarının kesiştiği 64°C lik kaplıca kaynağından itibaren bir taraftan NNE, diğer taraftan da NW doğrultularında değer kaybına uğrayarak dağılım gösterirler.

Keza su tipleri dağılım haritasında da Balçova kaynaklarından itibaren yüksek sodyumlu suların aynı iki kol doğrultusunda yayıldıkları, bu kolların her iki yanındaki suların, alüyon suları ile karışmaları sonucu, kalsiyumlu ve sodyumlu su tipine, daha öteerde ise kalsiyumlu ve manyezyumlu su tipine dönüştükleri ve nihayet sahile çok yakın kesimlerde ise deniz suyu karışımı sonucunda klorürlü ve sodyumlu su tipinin egemen olduğu görülmektedir.

JEOFİZİK VERİLER

Cevrede yapılmış olan gravite etüdleri, fliş üzerinde negatif bir zonun varlığına işaret etmektedir. Bu negatiflik, sonrasında orojenik hareketlere uğrayarak yükselmiş bulunan çok derin kretase denizini yansıtıyor olabilir.

Kaplıca civarında yapılmış olan rezistivite etüdleri ise, 50 m. derinlikte 8 Ohm. m.ye kadar düşen rezistivite değerleri vermiş, ve ayrıca NNE uzanımlı bir yarımlının sıcak su getirebileceğine işaret etmiştir.

SONDAJ LOKASYONLARININ SEÇİMİ

Yukarıda de濂ilen jeolojik, hidrojeolojik ve jeofizik verilerden hareketle sıcaklık ve debiyi artırma amacıyla açılacak sondaj lokasyonları saptanmıştır. Şöyledi ki, bilindiği üzere bir formasyonun elektrikî iletkenliği, içeridiği suyun elektrikî iletkenliğinden kaynaklanır. Bu ise suyun miktarına (ve dolayısıyle formasyonun porozitesine) bağlı olduğu kadar, o suyun içerasinde ermiş halde bulunan iyonların konsantrasyonlarına da bağlıdır. Diğer taraftan suların iyon konsantrasyonları da, sıcaklık artışına genellikle bağlı olarak

yükselir. Bu nedenlerle rezistivite haritalarında en düşük rezistivite değerlerine sahip lokasyonlar, esas itibariyle en tuzu veya en sıcak suların bulunduğu bölgelerde yer alır.

Diger taraftan aynı bir lokasyonun, çeşitli Wenner aralıkları için sahip olduğu rezistivite değerleri içerisinde en düşüğünne tekabül eden (a) Wenner aralığı, yaklaşık olarak sıcak veya tuzlu suyun o lokasyondaki derinliğini verir.

Bu esaslardan hareketle çeşitli rezistivite haritaları gözönüne alınarak EK-6 daki tablo düzenlenmiştir.

Bu tablodan ilk göze çarpan şudur ki sondaj için en uygun lokasyonlar, en düşük rezistivite değerlerine sahip olan (S.E. 135-125-104) lokasyonlarındır. Bu lokasyonlardaki sıcak (veya tuzlu) su derinliğinin 50 m. civarında olduğu da yine bu tablodan anlaşılabilir. Şu halde fliş içerisindeki faylarla yükseliş, 50 m. derinlerdeki yoğun kırıkların oluşturduğu ikincil poroziteli zonda veya alüyon tabanında yataklanan sıcak suların, daha yukarı seviyelerde tatlı alüyon suları ile karışımı sonucu rezistivileri tekrar yükselmektedir.

Diger taraftan, hazırladığımız Ek-7 deki tablodan anlaşılabileceği üzere, (S.E. 135-125-104) lokasyonlarında $a=50$ m. Wenner aralığına tekabül eden bir derinlikte yer alan en düşük rezistiviteli seviye, bu kesimden (S.E. 111 ve 106) ya doğru NNW'e gittikçe $a=85$ m. ve sonra $a=100$ m.ye tekabül eden bir derinlikte yer almaktadır.

Demek oluyor ki, EK-8 de de görüleceği üzere sıcak suyun alüyon altında dağılımı, muhtemelen S.E. 135 civarından itibaren NNW'e doğru, yani İlkadere'ye paraleldir (yani alüyon tabanının topografyasını yansıtıyor olmalıdır).

Lokasyon seçimi ile ilgili durum özetlenecek olursa :

a) $N 17^{\circ} E$ doğrultulu (S.E. 135-104-65) çizgisinin, sıcak suyu derinlerden yukarı taşıyan bir fayın üzerinde bulunduğu,

b) (S.E. 106) kesiminin, adı geçen fay zonuna kıyasla bir drenaj havzası rolü oynayan eski bir vadi veya kütür içerisinde olduğu,

c) (S.E.135 ve 104) lokasyonlarında yapılacak sondajların, doğrudan doğruya faylardan, ve dolayısıyle basınçlı sıcak su verebilecekleri, buna karşın S.E.106 civarında 100 m.lere inecek bir sondajın basınsız sıcak su verebileceği, zira burada alüyon içerisinde yayılmış ve atmosferik basınçla denge haline gelmiş serbest bir sıcak su napının oluşmuş bulunduğu gibi sonuçlara varılmıştır.

Tüm bu verilerin ve görüşlerin ışığında saptamış olduğumuz sondaj lokasyonları EK-8 de gösterilmiştir.

YAPILMIŞ OLAN SONDAJLAR VE SONUÇLARI

A - S.1 Sondajı :

Logu EK-9'da görülen S1 sondajı 23, 30 m. ye kadar yamaç molozlarını, 40,00 m.ye kadar ise kretase flişe ait klorit-şistleri kesmiştir. 33,50 m.den aşağısı bol pirit kristalleri ile sekonder kalsit ve kuvars damarları içерerek, sıcak su taşıyan bir fay ve kırık sistemi içerisinde girilmiş olduğunu gösterir. EK-10'da bu kesime ilişkin şematik bir kesit görülmektedir.

Bu sondaj, 38 m. derinlikte 124°C gibi, dünyada bu sıklıkta eșine ender rastlanan bir sıcaklığı erişmiş, ve yine Türkiye'de ilk kez 35 m. arteziyen yüksekliğine ulaşan ve 100 m³/saat debide sıcaksu-buhar püskürmesi ile sonuçlanmıştır. EK-11'de S1 sondajının derinliğe bağlı olarak değişen sıcaklık, debi ve statik seviye ilişkileri gösterilmiştir. Ek-12'deki ise S1 ve S2 sondaj suları ile 45 °C lik İlica ana kaynağının analizleri, kıyaslamalı olarak verilmiştir. (Bu konuya Hidrojeokimya paragrafında dönecektir).

B - S.2 Sondajı :

Logu EK-13'te görülen S2 sondajı 23 m. ye kadar ince kum dolgulu, iri çakıl ve bloklardan kurulu alüyon, 73,5 m. ye kadar ise kretase flişe ait şist ve greşitlerden kurulu substratum içerisinde ilerlemiştir.

65 m.den aşağısı yoğun bir şekilde sekonder kuvars ve kalsit damarları ile bol miktarda pirit kristalleri içermekte olup, bu durum, sıcak su taşıyan NNE fay zonu üzerinde bulunulduğu görüşünü doğrulamıştır. Nitekim 29 uncu metreden itibaren 102,5 °C sıcaklıkta su içeren bu kuyu blow-out'e açıldığından 10 m. arteziyen yüksekliğine ulaşan 40 m³/saat debide su vermiştir. (Bu suyun analizi EK-12'deki tabloda gösterilmiştir).

C - S.3A Sondajı :

Logu EK-14'te görülen S.3A sondajı 82 m.ye kadar alüyon, 140 m.ye kadar ise greşit, siyah şist ve kloritşistten kurulu ve kretase flişe ait substratum içerisinde ilerlemiştir. Bu seviyelerde önemli alterasyon ürünleri ile oldukça önemli sayılabilen bir oranda kalsit dolguları izlenmiştir.

Sondajda 90inci metrede 99°C, ve 130 uncu metrede 100,5°C sıcaklık ölçülmüş, ve yapılan verim deneylerinde 1,25 l/s gibi oldukça düşük bir debi saptanmıştır.

HİDROJEOKİMYASAL ETÜD VE SONUÇLARI

Analizleri EK-12'de sergilenmiş bulunan kaynak ve sondaj sularının yarı logaritmik grafik kıyaslamaları EK-15 te gösterilmiştir.

Özetlenecek olursa :

1 - Gerek arteziyen suyu, gerek 22 m.lerden alınan alüyon tabanındaki su, gerekse Balçova İlica kaynakları aynı kökene sahip görülmektedirler.

2 - Toplam tuzluluklar her üç su için de 1650 mg/l civarında olup bu konsantrasyon bu sulara oldukça yüksek bir madensellik özelliği verir.

3 - Tüm bu sular :

$\text{HCO}_3 > \text{Cl} > \text{SO}_4$ ve $\text{Na} > \text{Ca} > \text{Mg}$ yönünde gelişen ortak özelliklere sahiptirler.

4 - Bütün bu sular 200 mg/l civarında H_2SiO_3 , içermektedirler. Gerek silisin

bu yüksek konsantrasyonu, gerek pH değerlerinin 7. nin altında oluşu ve nihayet gerekse Ca^{++} ve HCO_3^- iyon tenörleri arasındaki belirgin fark, (genel olarak anyonlar toplamı ile katyonlar toplamı arasındaki belirgin dengesizlik), asit karakterli bir magma cebi kökeninin kabulü halinde kolay izah edilebildiği halde atmosferik vadodz, veya lâgüner fosil vadodz orijinlerinden birisinin kabul edilmesi halinde kolay açıklanamayacaklardır. Nitekim havza, Kretase'den Aktüel'e kadar, Alp tektoniğinin çeşitli fazlarını geçirmiş olup anteneojende serpentin filonları, Orta Miyosen'den itibaren andezit lávları ve postneojende bazalt lávları yüzeye kadar çıkma olaña bulmuşlardır. Bu magnetik etkinliklerin Aktüel'e kadar süren hidrotermal fazında ise çeşitli hidrotermal mineralizasyonlar (pirit, kalsit, kuvars kristalleri), sıcak su kaynakları, gazlar ve buhar şeklinde oluşuk veya etkinlikler, yeryüzüne kadar kendilerini hissettirebilmişlerdir. Şu halde Balçova sondajlarından fışkıran jeotermal akışkanların, asit karakterli bir magma cebinden itibaren, Alpin fazlardan birisinde gelişen derin faylar kanalıyla alüvyon tabanına kadar yükselme olaña bulmuş akışkanlar olduğu sonucu çıkarılabilir.

Jeotermometre Uygulamaları:

Ek.16 daki tabloda, gerek 45°C 'lik İlica ana kaynağının, gerekse S1 sondajının suyunun analizlerine dayalı olarak, çeşitli jeotermometrik yöntemlerle derin rezervuarın sıcaklığının hesabı verilmiştir. Özettecek olursa, S1 sondaj suyunun analizine göre minimum 159°C , maksimum 196°C sonuçları, kaynak suyunun analizine göre ise biraz daha düşük değerler (minimum $126^\circ, 5\text{C}$, maksimum $169^\circ, 2\text{C}$) bulunmuştur. Esasen kaynak suyuna belirgin bir şekilde alüvyal soğuk sular karışlığından orijinal suyun bileşimini, ve dolayısıyle hesabedilen sıcaklık değerlerini etkilemiş olması doğaldır. Başka bir deyişle sondaj suyunun analizinin ortaya koyduğu sıcaklık değerleri daha güvenilir olmaktadır.

SONUÇ: Potansiyel Saptaması - Öneriler

1 - Balçova'da yapmış olduğumuz çalışmalar göstermiştir ki jeotermal alanın

yaklaşık 1 km^2 ye varan yayılımı ile beklenilen debi ve sıcaklığı gözönüne alınırsa gerek niceliksel, gerekse niteliksel bakımından, büyük bir termal işletmenin gereklilikini karşılayabilir.

2 - Kaplıcada kullanıma yönelik sondaj, kuyu, galeri, yarma gibi kaptaj tesisleri, orijinal derin suların terapötik özeliklerinin alüvyal sulara karışarak bozulmasına meydana vermemek amacıyla, öncelikle F1 ve F2 ana faylarına ulaşacak şekilde planlanmalıdır. Nitekim bugün Balçova Kaplıcalarında banyo suyu olarak kullanılınca olan sular, 40 m'de F2 fayını kesmiş olan S1 sondajından sağlanmaktadır.

3 - Sondaj suyunun yüksek sıcaklığını banyo sıcaklığına düşürmek amacıyla başka evsafli soğuk sularla karıştırmak terapötik niteliği bozacağından, bu tür karışım yerine, depolarda dinlendirme suretiyle soğutulmuş olan aynı sondajın suyu ile karıştırma yolu yeğlenmelidir.

4 - Balçova sondajları terapötik kullanılının yanı sıra başka amaçlarla da değerlendirilmektedir. Nitekim S.1 sondajının hemen yanında 1982 yılında açılmış olan B1 sondajı, kuyu içi eşanjörü sistemiyle Balçova Kaplıca tesislerinin ısıtılmasında kullanıldığı gibi, klimatizasyonda da kullanıma başlanmak üzeredir. Ayrıca, son yıllarda açılan B5 ve B7 no.lu sondajlarda yine kuyu içi eşanjörü kullanılarak Tıp Fakültesi Kampüsü ısıtılmakta ve önemli ölçüde yakıt tasarrufu sağlanmaktadır. Bu arada İzmir Valiliğince, açılmış ve açılacak sondajlarla, 50000 konutun jeotermal merkezi sistemle ısıtılması gibi, ileriye dönük büyük projeler üzerinde hazırlık çalışmaları yapılmaktadır.

Balçova aynı zamanda jeotermal ısı ile ısıtılabilecek geniş ser alanlarına da sahip bulunmaktadır. Bu vesile ile, sahadan çekilebilecek ısı miktarı hakkında, çok kaba da olsa, bazı varsayımlara dayalı olarak şöyle bir hesap yapılabilir:

Jeotermal alanın E-W doğrultulu uzunluğu yaklaşık 1400 m., N-S doğrultulu genişliği yaklaşık 700 m., alanı yaklaşık 1 km^2 dir. Kuyular arasında önemli bir girişimin sözkonusu olmayacağı uzaklık 200 m. olarak kabul edilirse 1 km^2 lik jeotermal alanda 25 sondaj açılabilir. Ortalama olarak herbirinden $t_1 = 100^\circ\text{C}$ sıcaklıklı $20 \text{ m}^3 /$

saat debide su çekilebileceğinin ve bu suyun sıcaklığından $t_2 = 30^\circ\text{C}$ 'a düşene kadar yararlanılabileceğinin kabulü ile, sahanın termal kapasitesi :

$A = (t_1 - t_2) \times Qx (4.186 \times 10^6 \text{ MW}_t \text{ S/cal})$ formülü ile bulunabilir. Bu formül $1 \text{ MW}_t = 238.9 \times 10^3 \text{ cal/s}$ eşitliğine dayandırılmış olup, $t (\text{ }^\circ\text{C})$ ve Q (debi : ml/s) değerleri yerlerine konulduğunda :

$$A = (100-30) \times (500 \times 10^3 \times 10^3 / 3600) \times (4.186 \times 10^{-6}) \text{ MW}_t = 40.7 \text{ MW}_t \text{ bulunur.}$$

Şu halde Balçova jeotermal alanının yaklaşık termal gücü $40.7 \text{ MW}_t/\text{saat}$ olup,

$1 \text{ MW}_t/h \approx 850.000 \text{ Kcal/saat}$ ve

$$\frac{850.000 \text{ Kcal/saat}}{10.000 \text{ Kcal/litre}} = 85 \text{ litre/saat fuel-oil};$$

$$\text{keza : } \frac{850.000 \text{ Kcal/saat}}{7.000 \text{ Kcal/kg}} \approx 120 \text{ kg/saat}$$

taşkömürü eşdeğeri olduğundan sağlanacak fuel-oil tasarrufu $85 \times 40.7 = 3460 \text{ litre/saat}$, veya taşkömürü tasarrufu $120 \times 40.7 = 4886 \text{ kg/saat}$ olacaktır.

Sahadaki jeotermal akışkanı terapötik ve turistik amaçlarla kullanıma arz ederken, azımsanamayacak bir düzeyde olduğu görülen bu termal kapasiteyi de kullanıma arz edecek tesislerin entegre edilmesinde ülke ekonomisi açısından büyük yarar vardır.

YARARLANILAN BELGELER

1 - AKARTUNA, Dr. M., 1958, İzmir, Torbalı, Değirmendere, Seferihisar, Urla, Foça, Menemen Bölgesinin Jeolojik Etüdü Hakkında Rapor, MTA.Arşiv No: 2624., Ankara.

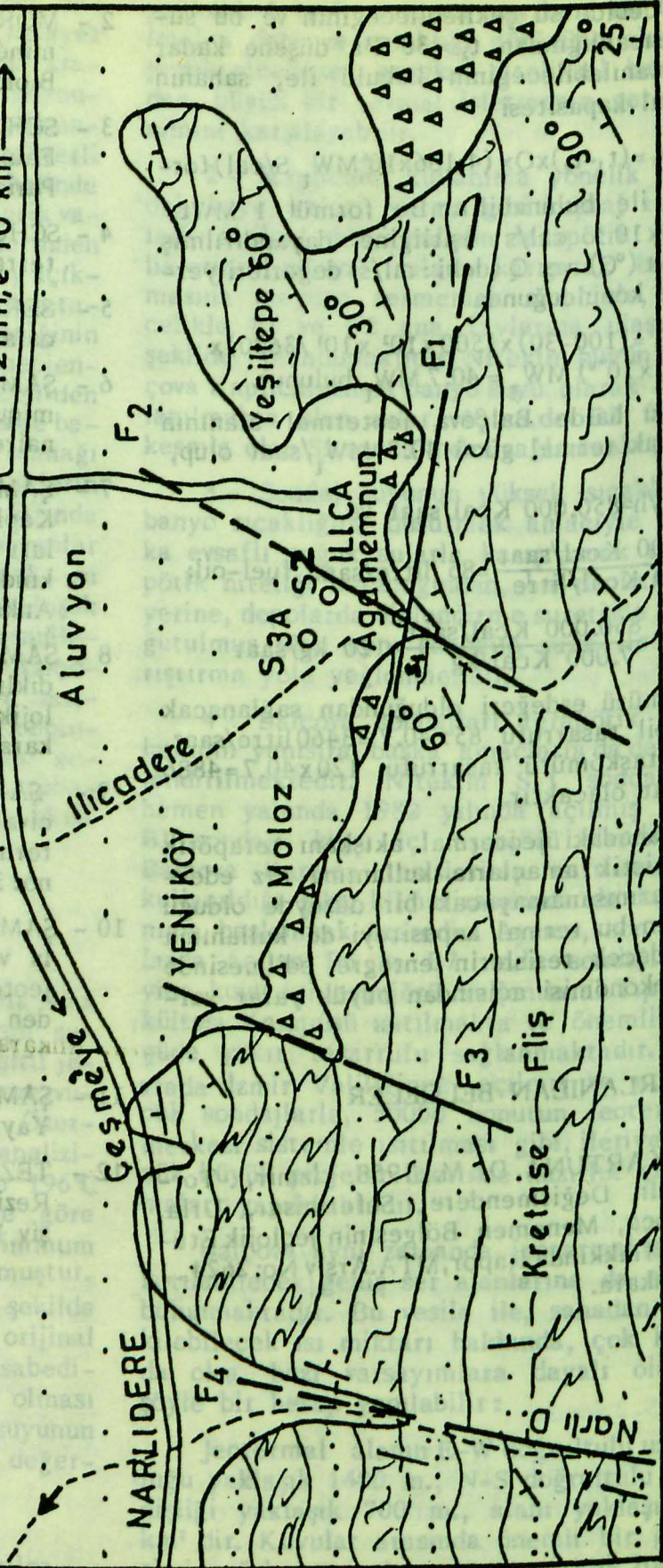
- 2 - MORET,L., 1948, Les Sources Thermo-minérales: Hidrogéologie-Géochimie-Biologie, Masson Ed., Paris.
- 3 - SCHOELLER,H., 1955, Géochimie Des Eaux Souterraines, I.F.P. 2, Lubeck, Paris, 16^e.
- 4 - SCHOELLER,H., 1962, Les Eaux Souterraines, Masson, Paris.
- 5 - SERRUYA,S., 1962, Agamemnun İllcaları, MTA.Arşiv No: 3206, Ankara.
- 6 - ŞAMILGİL,E., 1962, Etudes Hydrodynamiques de Deux Nappes du Quaternaire, Doktora Tezi, Bordeaux, France.
- 7 - ŞAMILGİL,E., 1964, İzmir-Agamemnun Kaplıcası Bölgesinde Sıcaksu Sondajları ve Hidrojeolojik Neticeler Hakkında Rapor, MTA.Arşiv No: 3324, Ankara.
- 8 - ŞAMILGİL,E., 1964, Hüdaihamamı(Sandıklı) Hakkında jeolojik ve Hidrojeolojik Rapor, MTA.Arşiv No: 3598 Ankara.
- 9 - ŞAMILGİL,E., 1965, Nevşehir-Kozaklı civarının Hidrojeolojik Etüdü ve Jeotermik Enerji İmkânları, MTA.Arşiv no: 3510, Ankara.
- 10 - ŞAMILGİL,E., 1966, Çanakkale'nin Tuzla ve Kestanbol Sıcaksu Havzalarında jeotermal Enerji Araştırması Yönünden Hidrojeolojik Etüd, MTA.Rap No: 4274, Ankara.
- 11 - ŞAMILGİL,E., 1966, Yeraltı Suları, MTA. Yayın No: 135, Ankara.
- 12 - TEZCAN, K., 1963, İzmir-Agamemnun Rezistivite Etüdü Raporu, MTA.Arşiv No: 3214, Ankara.

İZMİR - BALÇOVA JEOLOJİ HARİTASI

0 250 500 750 m

Inciraltı

İzmir'e 10 km



S1-S2-S3A = SONDAJ YERLERİ

1 - Balçova'da yapmış olduğumuz çalışmalar göstermiştir ki jeotermal alanın

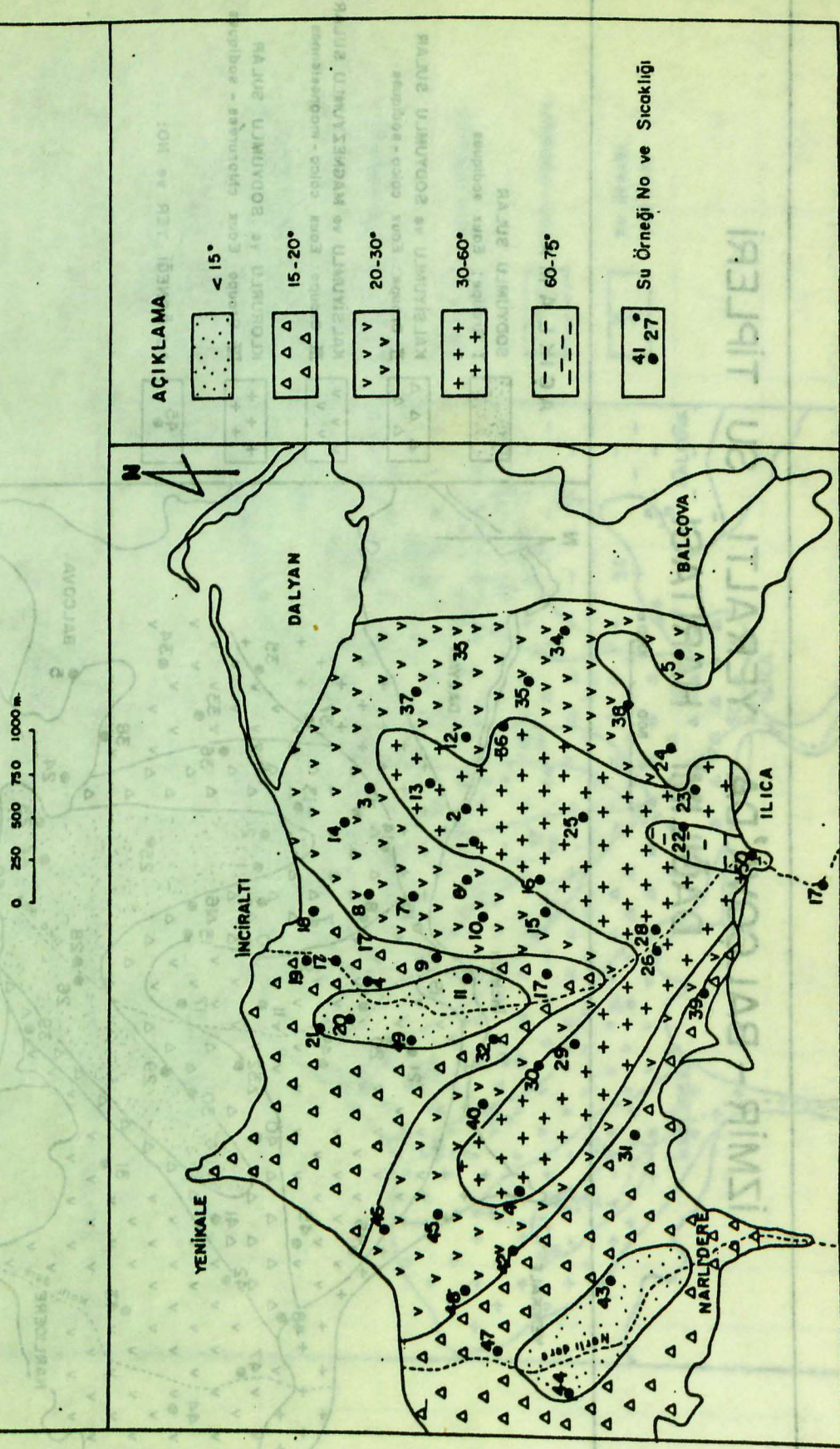
olarak kabul edilmesi için lik jeotermal alanda 25 sondaj açılabilir. Ortalama olarak herbirinden $t=100^{\circ}\text{C}$ sıcaklığı 20 m³/

EK: 1

İZMİR - BALÇOVA 'DA YERALTI SUYU SICAKLIK DAĞILIM HARITASI

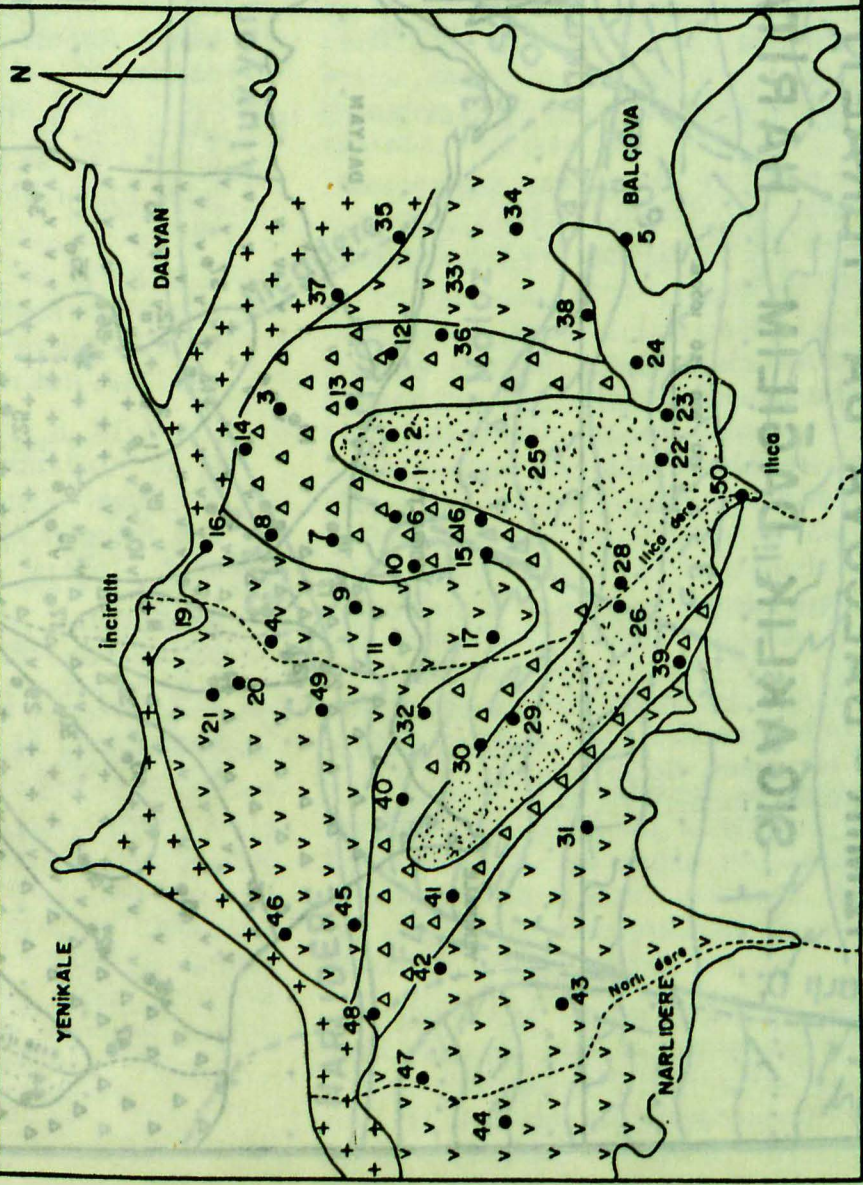
BALÇOVA KAPLICALARI

115



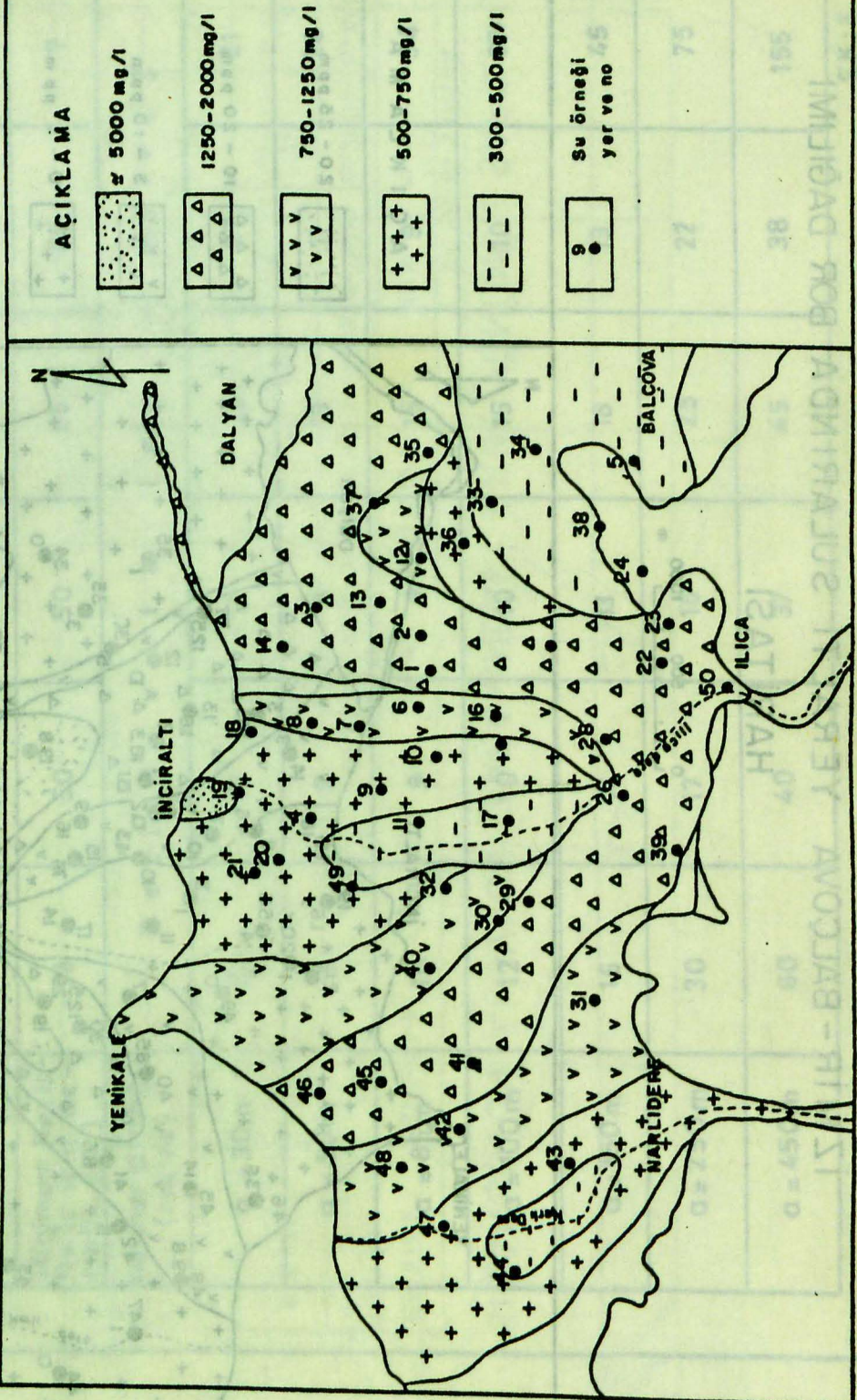
İZMİR - BALÇOVA'DA YERALTı SU TIPLERİ DAĞILIMI HARİTASI

0 500 1000 m



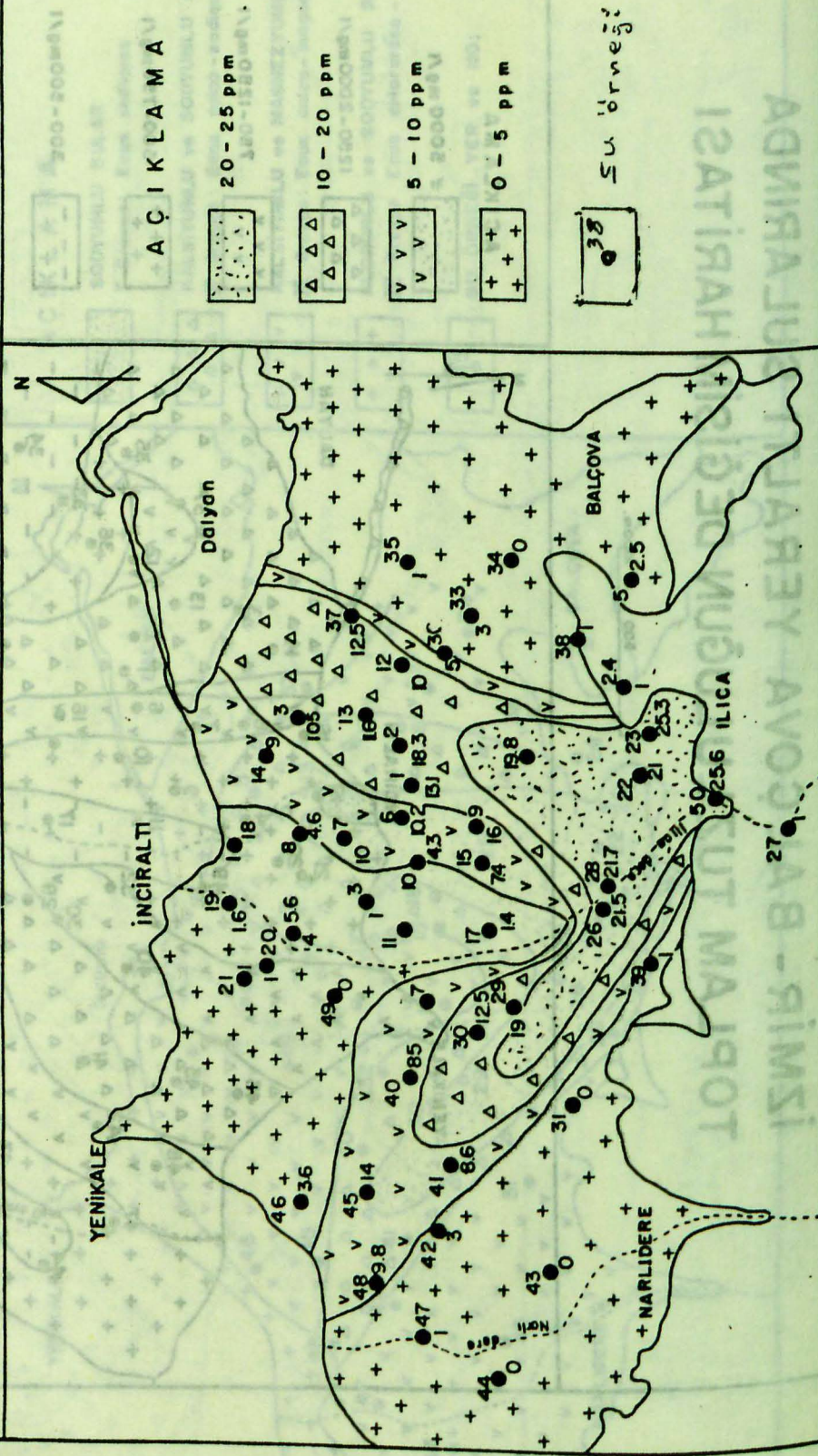
İZMİR - BALÇOVA YERALTI SULARINDA TOPLAM TUZLUŁUĞUN DEĞİŞİM HARİTASI

0 500 Metre.



**İZMİR - BALÇOVA YERALTı SULARINDA BOR DAĞILIMI
HARİTASI**

0 500 1000 m



REZİSTİVİTENİN DERİNLİĞE GÖRE DEĞİŞİM TABLOSU

Dr:Erman ŞAMİL GİL

Elektrik sondajı no	S.E.135	S.E.125	S.E.104	S.E.109	S.E.111	S.E.145
Sıcaklık ($^{\circ}$ C)	35	35	28	30	31	45
Minimum Rezitivite için derinlik. (m)	50	50	50	65	85	?
Wenner aralığı (metre)	Rezistivite (ohm - metre)					
$\alpha = 30\text{m}$	13	16	13	29	27	21
$\alpha = 50\text{m}$	8	9	8	18	11	26
$\alpha = 85\text{m}$	10	9	9	15	9	34
$\alpha = 100\text{m}$	12	10	10	15	10	37
$\alpha = 150\text{m}$	16	13	13	18	13	45
$\alpha = 250\text{m}$	30	17	16	25	22	75
$\alpha = 450\text{m}$	60	40	37	45	38	155

EK:6

SICAKSUYUN ALÜVYON TABANINDAKİ AKIM YÖNÜNÜN SAPTANMASI

Dr. Erman ŞAMILGİL

Elektrik sondajı no	Sıcaklık ($^{\circ}\text{C}$)	Derinlik (m)	Rezistivite "ohm - metre"			
			$\alpha = 30 \text{ m.}$	$\alpha = 50 \text{ m.}$	$\alpha = 85 \text{ m.}$	$\alpha = 100 \text{ m.}$
S.E. 125	35	50	16	9	9	10
S.E. 111	31	85	27	11	9	10
S.E. 106	28	100	30	11	10	10

EK:7

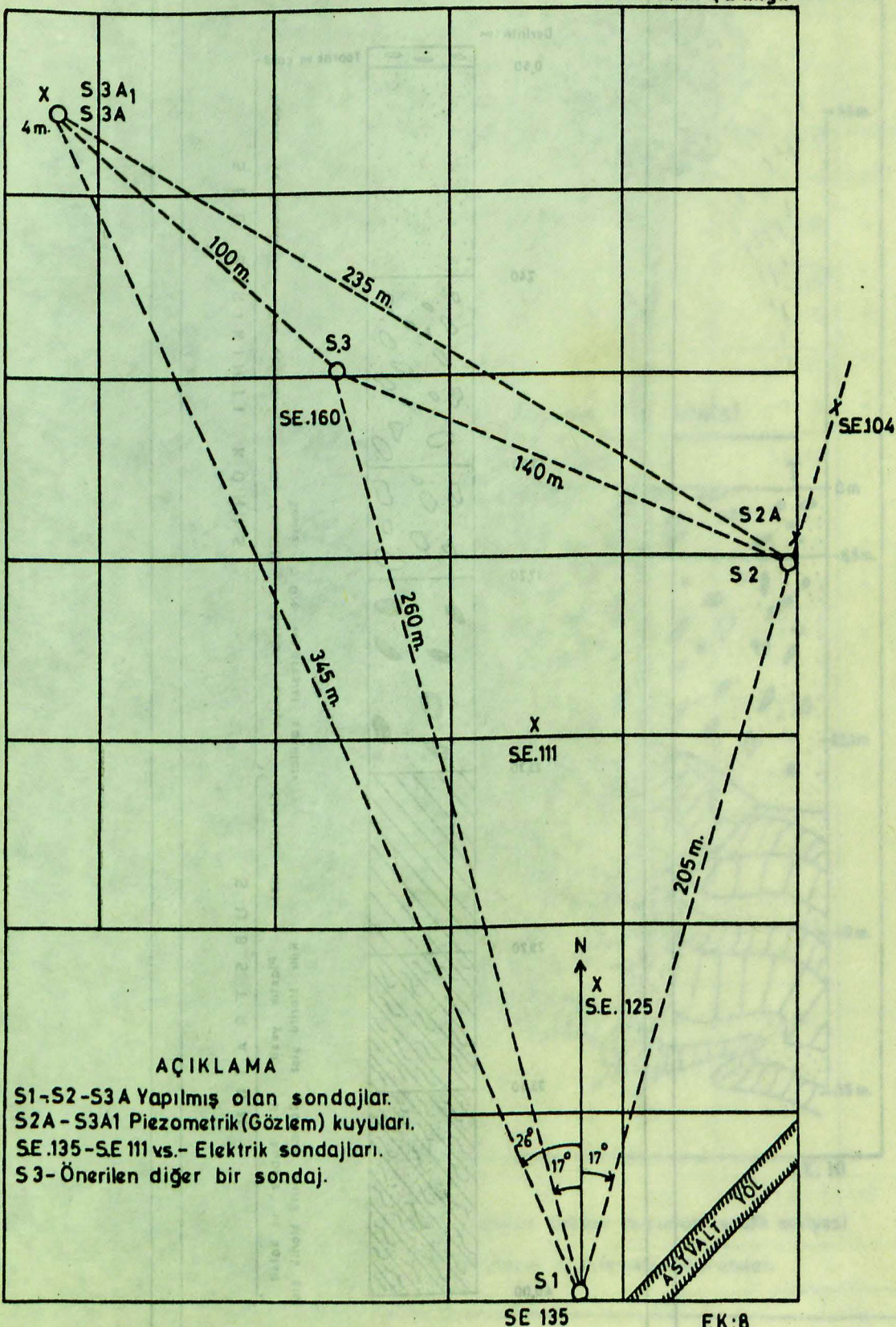
DİLEKÇE DEĞİŞİMİ
 İNİTİATİFİ
 DƏRİNLİĞİ
 MİSƏLİ
 GÖKE
 TAVAS
 DƏRİN
 UŞOĞLU
 HARİTA
 30
 32
 34
 36
 38
 40
 42
 44
 46
 48
 50
 52
 54
 56
 58
 60
 62
 64
 66
 68
 70
 72
 74
 76
 78
 80
 82
 84
 86
 88
 90
 92
 94
 96
 98
 100
 102
 104
 106
 108
 110
 112
 114
 116
 118
 120
 122
 124
 126
 128
 130
 132
 134
 136
 138
 140
 142
 144
 146
 148
 150
 152
 154
 156
 158
 160
 162
 164
 166
 168
 170
 172
 174
 176
 178
 180
 182
 184
 186
 188
 190
 192
 194
 196
 198
 200
 202
 204
 206
 208
 210
 212
 214
 216
 218
 220
 222
 224
 226
 228
 230
 232
 234
 236
 238
 240
 242
 244
 246
 248
 250
 252
 254
 256
 258
 260
 262
 264
 266
 268
 270
 272
 274
 276
 278
 280
 282
 284
 286
 288
 290
 292
 294
 296
 298
 300
 302
 304
 306
 308
 310
 312
 314
 316
 318
 320
 322
 324
 326
 328
 330
 332
 334
 336
 338
 340
 342
 344
 346
 348
 350
 352
 354
 356
 358
 360
 362
 364
 366
 368
 370
 372
 374
 376
 378
 380
 382
 384
 386
 388
 390
 392
 394
 396
 398
 400
 402
 404
 406
 408
 410
 412
 414
 416
 418
 420
 422
 424
 426
 428
 430
 432
 434
 436
 438
 440
 442
 444
 446
 448
 450
 452
 454
 456
 458
 460
 462
 464
 466
 468
 470
 472
 474
 476
 478
 480
 482
 484
 486
 488
 490
 492
 494
 496
 498
 500
 502
 504
 506
 508
 510
 512
 514
 516
 518
 520
 522
 524
 526
 528
 530
 532
 534
 536
 538
 540
 542
 544
 546
 548
 550
 552
 554
 556
 558
 560
 562
 564
 566
 568
 570
 572
 574
 576
 578
 580
 582
 584
 586
 588
 590
 592
 594
 596
 598
 600
 602
 604
 606
 608
 610
 612
 614
 616
 618
 620
 622
 624
 626
 628
 630
 632
 634
 636
 638
 640
 642
 644
 646
 648
 650
 652
 654
 656
 658
 660
 662
 664
 666
 668
 670
 672
 674
 676
 678
 680
 682
 684
 686
 688
 690
 692
 694
 696
 698
 700
 702
 704
 706
 708
 710
 712
 714
 716
 718
 720
 722
 724
 726
 728
 730
 732
 734
 736
 738
 740
 742
 744
 746
 748
 750
 752
 754
 756
 758
 760
 762
 764
 766
 768
 770
 772
 774
 776
 778
 780
 782
 784
 786
 788
 790
 792
 794
 796
 798
 800
 802
 804
 806
 808
 810
 812
 814
 816
 818
 820
 822
 824
 826
 828
 830
 832
 834
 836
 838
 840
 842
 844
 846
 848
 850
 852
 854
 856
 858
 860
 862
 864
 866
 868
 870
 872
 874
 876
 878
 880
 882
 884
 886
 888
 890
 892
 894
 896
 898
 900
 902
 904
 906
 908
 910
 912
 914
 916
 918
 920
 922
 924
 926
 928
 930
 932
 934
 936
 938
 940
 942
 944
 946
 948
 950
 952
 954
 956
 958
 960
 962
 964
 966
 968
 970
 972
 974
 976
 978
 980
 982
 984
 986
 988
 990
 992
 994
 996
 998
 1000

DİLEKÇE DEĞİŞİMİ
 İNİTİATİFİ
 DƏRİN
 MİSƏLİ
 GÖKE
 TAVAS
 DƏRİN
 UŞOĞLU
 HARİTA
 30
 32
 34
 36
 38
 40
 42
 44
 46
 48
 50
 52
 54
 56
 58
 60
 62
 64
 66
 68
 70
 72
 74
 76
 78
 80
 82
 84
 86
 88
 90
 92
 94
 96
 98
 100
 102
 104
 106
 108
 110
 112
 114
 116
 118
 120
 122
 124
 126
 128
 130
 132
 134
 136
 138
 140
 142
 144
 146
 148
 150
 152
 154
 156
 158
 160
 162
 164
 166
 168
 170
 172
 174
 176
 178
 180
 182
 184
 186
 188
 190
 192
 194
 196
 198
 200
 202
 204
 206
 208
 210
 212
 214
 216
 218
 220
 222
 224
 226
 228
 230
 232
 234
 236
 238
 240
 242
 244
 246
 248
 250
 252
 254
 256
 258
 260
 262
 264
 266
 268
 270
 272
 274
 276
 278
 280
 282
 284
 286
 288
 290
 292
 294
 296
 298
 300
 302
 304
 306
 308
 310
 312
 314
 316
 318
 320
 322
 324
 326
 328
 330
 332
 334
 336
 338
 340
 342
 344
 346
 348
 350
 352
 354
 356
 358
 360
 362
 364
 366
 368
 370
 372
 374
 376
 378
 380
 382
 384
 386
 388
 390
 392
 394
 396
 398
 400
 402
 404
 406
 408
 410
 412
 414
 416
 418
 420
 422
 424
 426
 428
 430
 432
 434
 436
 438
 440
 442
 444
 446
 448
 450
 452
 454
 456
 458
 460
 462
 464
 466
 468
 470
 472
 474
 476
 478
 480
 482
 484
 486
 488
 490
 492
 494
 496
 498
 500
 502
 504
 506
 508
 510
 512
 514
 516
 518
 520
 522
 524
 526
 528
 530
 532
 534
 536
 538
 540
 542
 544
 546
 548
 550
 552
 554
 556
 558
 560
 562
 564
 566
 568
 570
 572
 574
 576
 578
 580
 582
 584
 586
 588
 590
 592
 594
 596
 598
 600
 602
 604
 606
 608
 610
 612
 614
 616
 618
 620
 622
 624
 626
 628
 630
 632
 634
 636
 638
 640
 642
 644
 646
 648
 650
 652
 654
 656
 658
 660
 662
 664
 666
 668
 670
 672
 674
 676
 678
 680
 682
 684
 686
 688
 690
 692
 694
 696
 698
 700
 702
 704
 706
 708
 710
 712
 714
 716
 718
 720
 722
 724
 726
 728
 730
 732
 734
 736
 738
 740
 742
 744
 746
 748
 750
 752
 754
 756
 758
 760
 762
 764
 766
 768
 770
 772
 774
 776
 778
 780
 782
 784
 786
 788
 790
 792
 794
 796
 798
 800
 802
 804
 806
 808
 810
 812
 814
 816
 818
 820
 822
 824
 826
 828
 830
 832
 834
 836
 838
 840
 842
 844
 846
 848
 850
 852
 854
 856
 858
 860
 862
 864
 866
 868
 870
 872
 874
 876
 878
 880
 882
 884
 886
 888
 890
 892
 894
 896
 898
 900
 902
 904
 906
 908
 910
 912
 914
 916
 918
 920
 922
 924
 926
 928
 930
 932
 934
 936
 938
 940
 942
 944
 946
 948
 950
 952
 954
 956
 958
 960
 962
 964
 966
 968
 970
 972
 974
 976
 978
 980
 982
 984
 986
 988
 990
 992
 994
 996
 998
 1000

BALÇOVA SONDAJ LOKASYONLARI

Ölçek: 1/1250

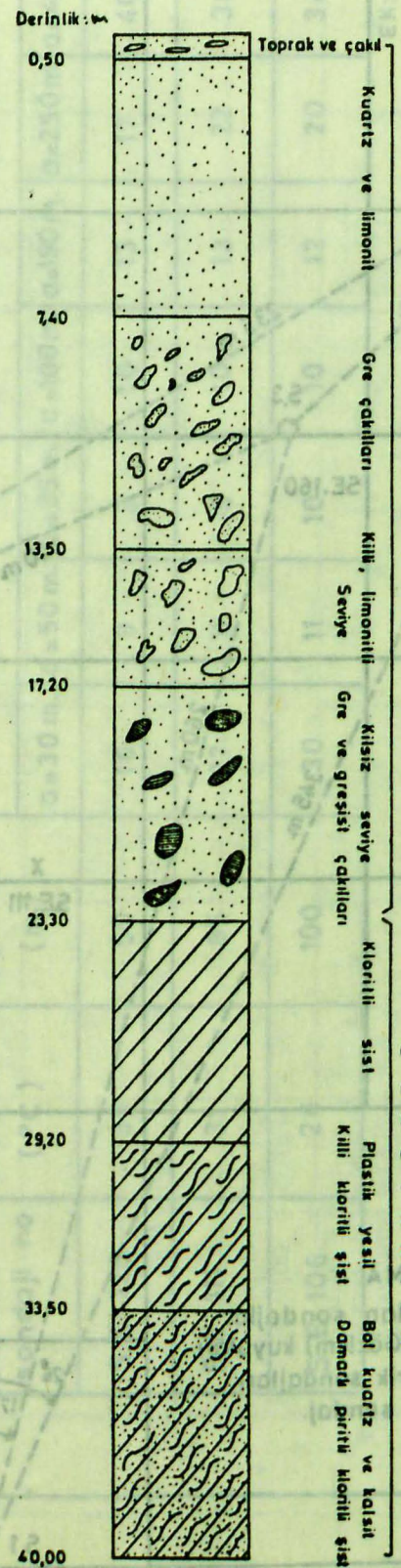
Dr: Erman Şamilgil



BALÇOVA S.1 NOLU SONDAJİ LOGU

Ölçek: 1/100

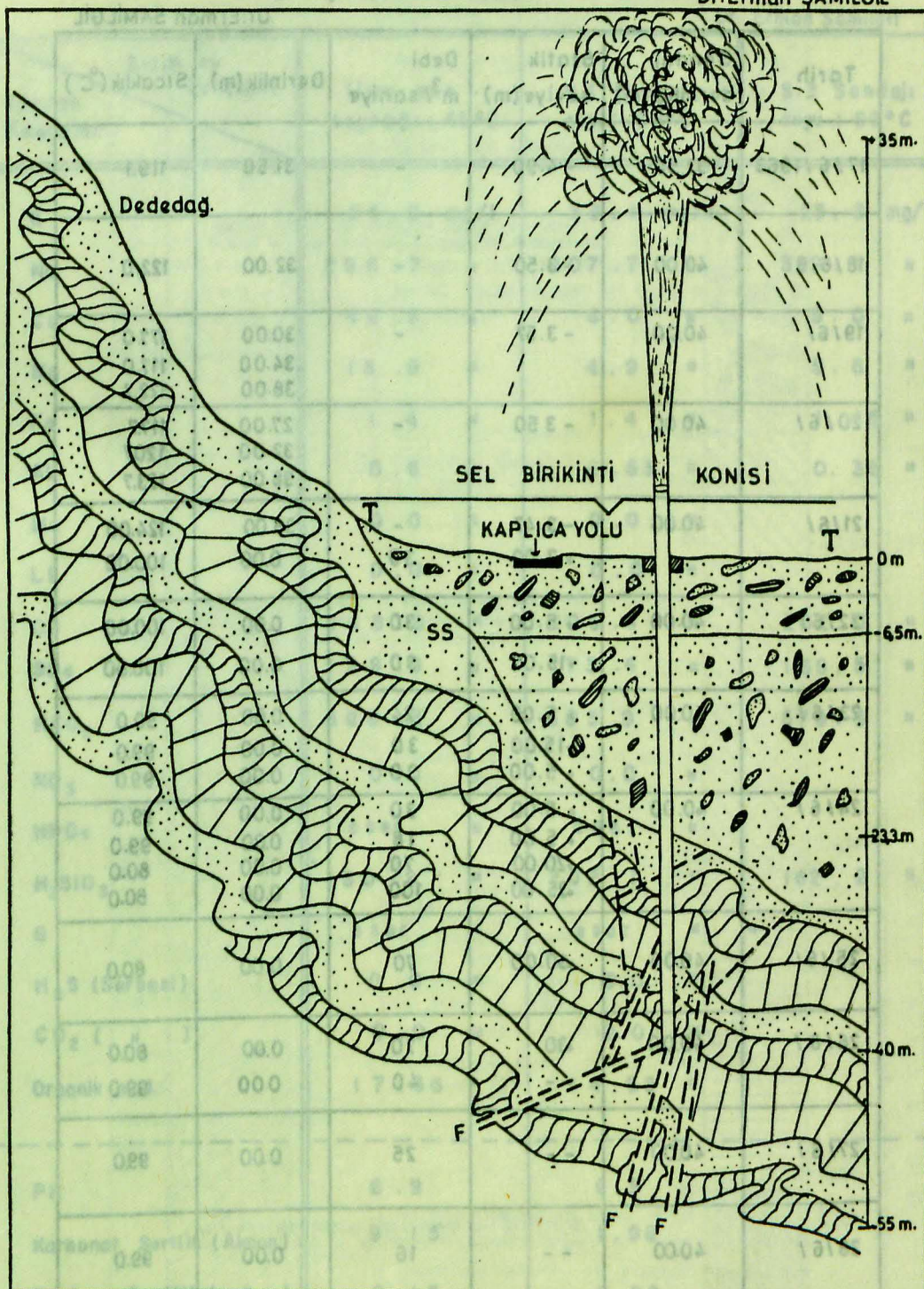
Dr: Erman Samiloğlu



S.1 SONDAJI İÇİ SEMATİK KESİTİ
BALÇOVA-KAPLICALIK DEĞİ
VE - STAKİKLERI

Ölçek: 1/400

Dr: Erman ŞAMILGİL



EK: 10



Kretase fliş

SS Aluvyon tabanı suyunun statik seviyesi

T

Topografik seviye

F

Fayların muhtemelen durumları

**BALÇOVA-S1 SONDAJINDA DERİNLİKLE SICAKLIK, DEBİ
VE STATİK SEVİYE İLİŞKİLERİ**

Dr:Erman SAMİLGİL

Tarih	Sondaj derinliği(m)	Statik seviye(m)	Debi m ³ /saniye	Derinlik(m)	Sıcaklık(°C)
17 / 6 / 1963	33,50	- 4.90	-	31.50	119.1
18 / 6	40.00	- 3.50	-	32.00	122.0
19 / 6 /	40.00	- 3.57	-	30.00 34.00 38.00	177.0 117.0 122.7
20 / 6 /	40.00	- 3.50	-	27.00 32.00 38.00	117.7 120.7 123.7
21 / 6 /	40.00	- 3.47 + 7.00	- 30	38.00 0.00	124.00 100.00
22 / 6 /	40.00	+ 5.00 + 15.00	30	0.00 0.00	100.00 100.00
23 / 6 /	40.00	+ 5.00 + 15.00 + 5.00	24 30 30	0.00 0.00 0.00	99.0 99.0 99.0
24 / 6 /	40.00	+ 5.00 + 5.00 + 20.00 + 35.00	30 18 70 100	0.00 0.00 0.00 0.00	99.0 99.0 80.0 80.0
25 / 6 /	40.00	+ 30.00	70	0.00	80.0
26 / 6 /	40.00	+ 30 --	70 40	0.00 0.00	80.0 99.0
27 / 6 /	40.00	--	25	0.00	99.0
28 / 6 /	40.00	--	16	0.00	99.0
6 / 7 /	40.00	0	0	--	--

BALÇOVA , KAYNAK VE SONDAJ SULARI ANALİZLERİ

Dr. Erman Şamilgil

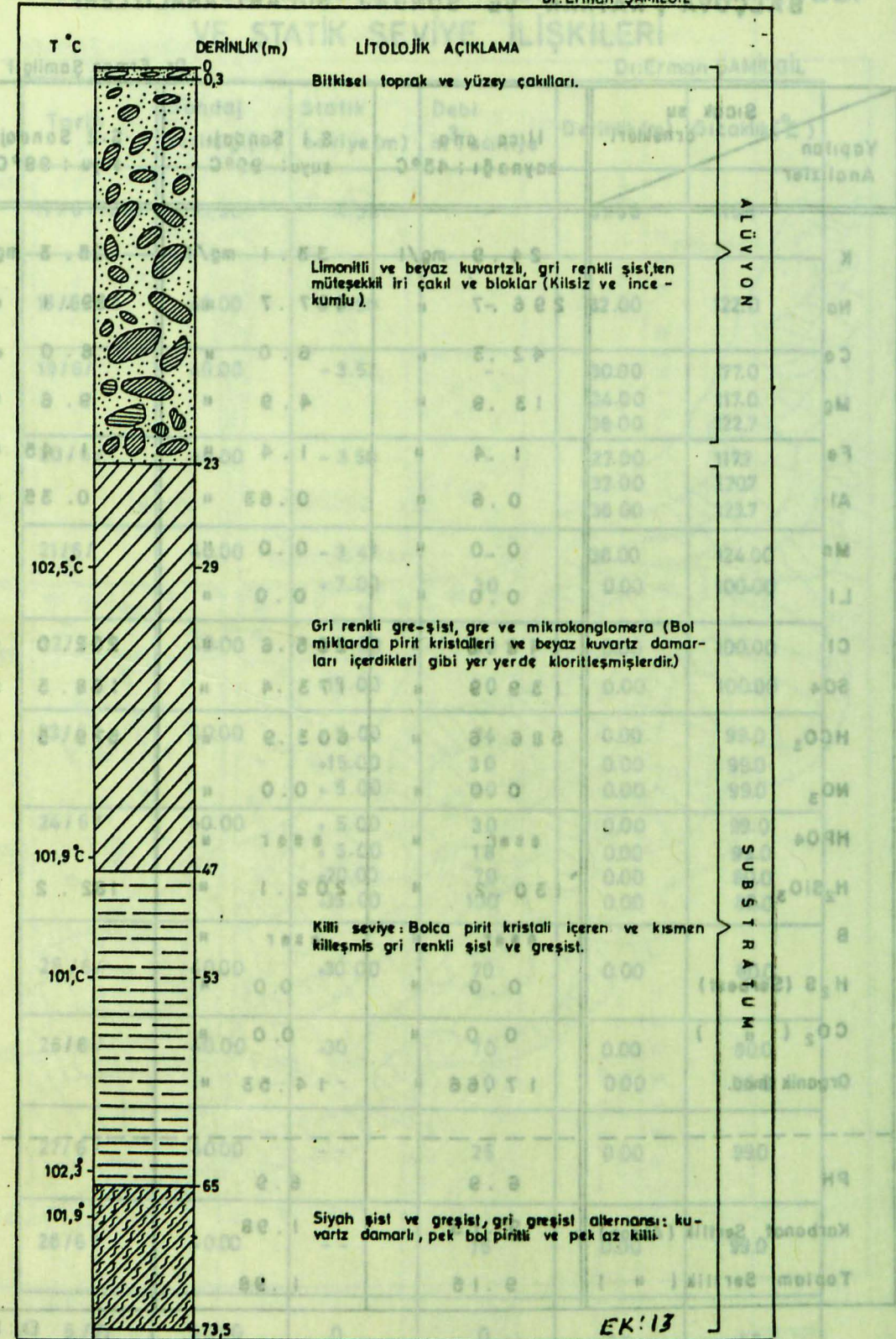
Yapılan Analizler	Sıcak su Örnekleri	İlica ana kaynağı : 45°C	S.1 Sondağı suyu : 99°C	S.2 Sondağı suyu : 99°C
K		24.9 mg/l	33.1 mg/l	25.3 mg/l
Na		296.7 "	407.7 "	389.1 "
Ca		42.3 "	6.0 "	8.0 "
Mg		13.9 "	4.9 "	9.6 "
Fe		1.4 "	1.4 "	1.45 "
Al		0.6 "	0.63 "	0.35 "
Mn		0.0 "	0.0 "	
Li		0.0 "	0.0 "	
Cl		148.8 "	205.6 "	202.0 "
SO ₄		139.9 "	173.4 "	168.5 "
HCO ₃		586.6 "	603.9 "	579.5 "
NO ₃		0.0 "	0.0 "	
HPO ₄		eser "	eser "	
H ₂ SiO ₃		130.2 "	202.1 "	162.2 "
B		eser "	eser "	
H ₂ S (Serbest)		0.0 "	0.0 "	
CO ₂ (")		0.0 "	0.0 "	
Organik mad.		17.66 "	14.53 "	
-----	-----	-----	-----	-----
PH		6.9	6.9	
Karbonat Sertlik (Alman)		9.15	1.98	
Toplam Sertlik (")		9.15	1.98	

Ek: 12

BALÇOVA S2 SONDAJİ LOGU

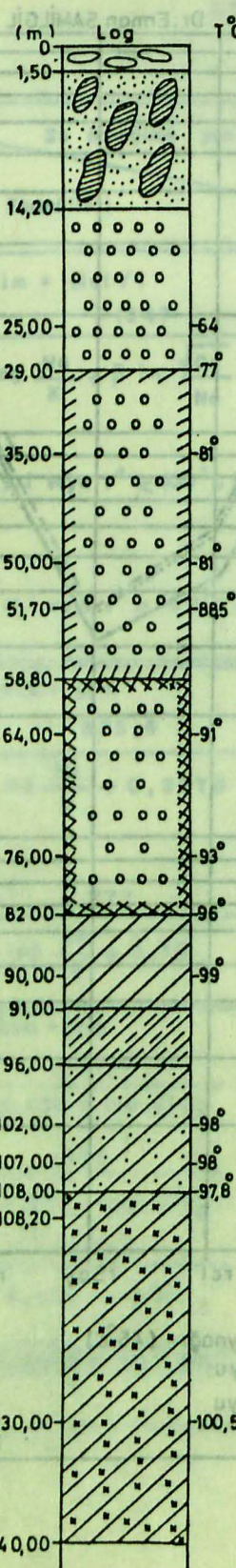
Ölçek: 1/200

Dr: Erman ŞAMILGİL



BALÇOVA - S.3A SONDAJI LOGU

Dr : Erman SAMİLGİL



LITOLOJİK AÇIKLAMA

Toprak ve yüzey çakılları

Kilsız, limonitli, ince kumlu beyaz kuvarz filiç çakılları.

Gri, greşist, kloritli şist, kalkşist ve kristalize kalkerden oluşan ve ek-seriya kuarz damarlı iri çakıl ve bloklar.

% 15 - % 40 Oranındaki yeşil plastik kil içerisinde, limonitleşmiş ve lateritleşmiş gri, greşist ve kloritli şist çakılları.

% 10 - % 50 Oranında plastik olmayan - kırmızıtmak kahverengi kil (veya laterit) içerisinde gri, yeşil renkte gri, greşist ve kloritli şist çakılları.

Kalsit damarlı çok altere olmuş greşist (Aterasyon Ürünleri: Laterit, kil ve klorit) Tabaka ve şistozite eğimi: 50°.

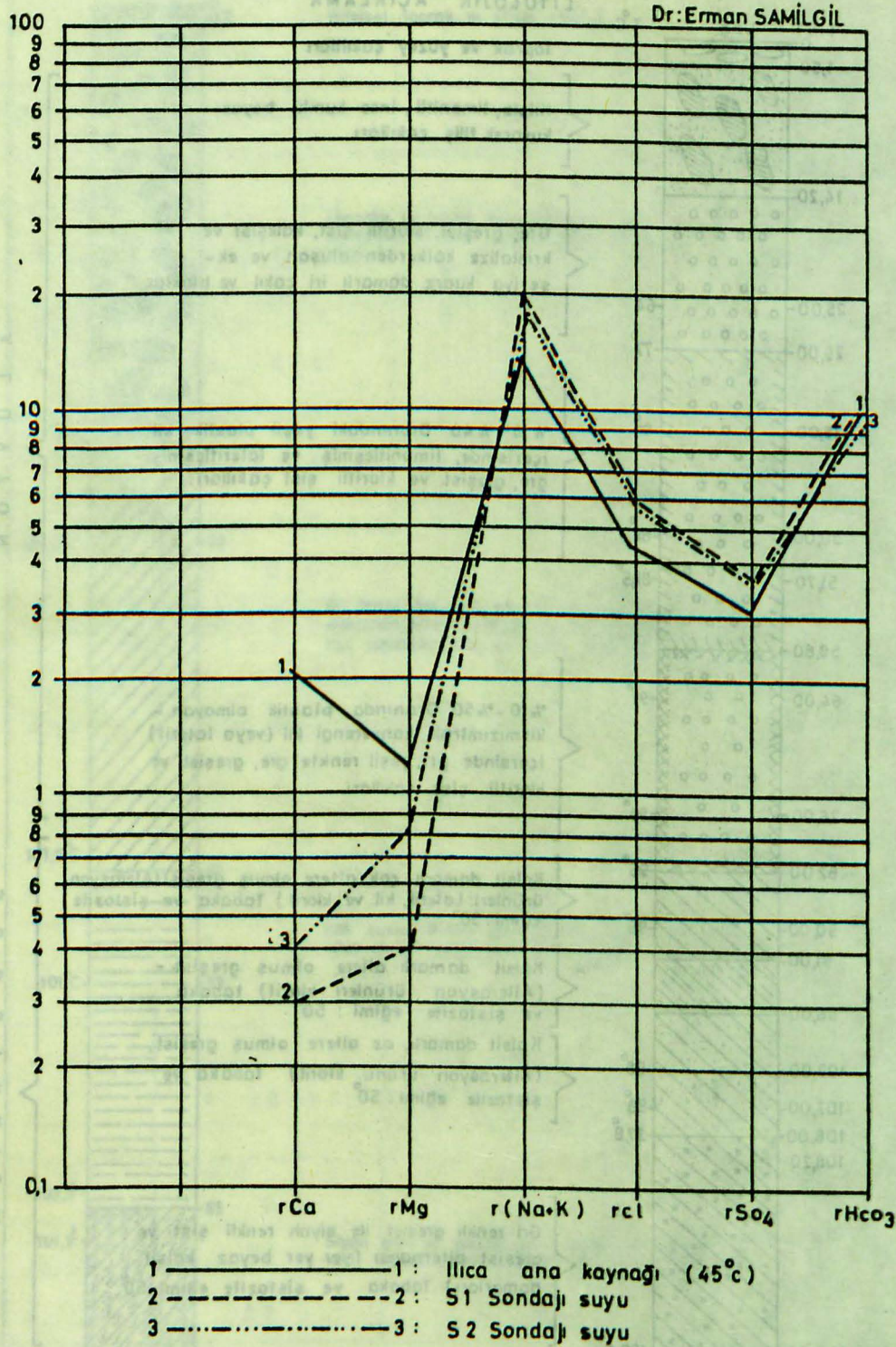
Kalsit damarlı altere olmuş greşist - (Aterasyon Ürünleri klorit) tabaka ve şistozite eğimi: 50°

Kalsit damarlı, az altere olmuş greşist, (Aterasyon ürünü klorit) tabaka ve şistozite eğimi: 50°

Gri renkli greşist ile siyah renkli şist ve greşist alternansı (yer yer beyaz kalsit damarları) Tabaka ve şistozite eğimi: 50°

BALÇOVA SICAKSULARININ KİMYASAL
KIYASLAMALARI

Dr: Erman SAMİLGİL



EK:15

**JEOTERMOMETRİK YÖNTEMLERLE HESAPLANAN
REZERVUAR SICAKLIKLARI**

Dr. Erman Şamilgil

Su örneğinin yeri ve sıcaklığı (°C)		Balçova ilica kaynağı: $t = 45^\circ\text{C}$	Balçova Sı sondajı: $t = 99^\circ\text{C}$
Jeotermometre Formülleri			
Na,K,Ca Jeotermometresi Birim = Mol / l $t^\circ\text{C} = \frac{1647}{\log \frac{\text{Na}}{\text{K}} + \beta \log \frac{\sqrt{\text{Ca}}}{\text{Na}} + 2,24} - 273,15$ $\frac{\sqrt{\text{Ca}}}{\text{Na}} > 1$ veya $t^\circ < 100^\circ\text{C}$ ise $\beta = \frac{4}{3}$ $\frac{\sqrt{\text{Ca}}}{\text{Na}} < 1$ veya $t^\circ > 100^\circ\text{C}$ ise $\beta = \frac{1}{3}$	*		
	Na ⁺	296,7 ppm (0,0129 mol)	407,7 ppm (0,018 mol)
K ⁺	24,9 ppm (0,00064 mol)	33,1 ppm (0,00085 mol)	
Ca ⁺⁺	42,3 ppm (0,0011 mol)	6,0 ppm (0,0015 mol)	
$t^\circ\text{C}$	129°, 44°C	196°, 08°C	
Na/K Jeotermometreleri Birim = ppm $t_1^\circ\text{C} = \frac{855,6}{\log \frac{\text{Na}}{\text{K}} + 0,8573} - 273,15$ $t_2^\circ\text{C} = \frac{777}{\log \frac{\text{Na}}{\text{K}} + 0,70} - 273,15$	Na ⁺	296,7 *	404,7 *
	K ⁺	24,9 *	33,1 *
	$t_1^\circ\text{C}$	169°, 18°C	165°, 62°C
	$t_2^\circ\text{C}$	164°, 10°C	160°, 93°C
SiO₂ Jeotermometreleri Birim = ppm $t_1^\circ\text{C} = \frac{1533,5}{5,768 - \log \text{SiO}_2} - 273,15$ $t_2^\circ\text{C} = \frac{1315}{5,205 - \log \text{SiO}_2} - 273,15$ $t_3^\circ\text{C} = \frac{1015,1}{4,655 - \log \text{SiO}_2} - 273,15$	SiO ₂	130,2 *	202,1 *
	$t_1^\circ\text{C}$	146°, 64°C	169°, 80°C
	$t_2^\circ\text{C}$	152°, 42°C	180°, 45°C
	$t_3^\circ\text{C}$	126°, 49°C	158°, 99°C

* Konsantrasyonlar (ppm) birimiyle verilmiştir.

Ek: 16

These equations have been determined from the solution of these three equations.

If the been obtained very suitable regulations for the magnetic vertical component anomaly and gravity anomaly of the step faults, by using the method developed in this work.

NÄTÖTTEYTYMÄN TÄRKEÄSTÄ NÄÄVÄÄNÄN
KÄSEVAUNAN SICKELKIRJAT

100

5

5 Hyllymäki 400-00

7

7

9

9

9

9

9

9

9

9

9

9

9

9

9

9

9

9

9

9

9

9

9

9

9

9

9

9

9

9

9

9

9

9

9

9

9

9

9

9

9

9

9

9

9

9

9

9

9

9

9

9

9

9

9

9

9

9

9

9

9

9

9

9

9

9

9

9

9

9

9

9

9

9

9

9

9

9

9

9

9

9

9

9

9

9

9

9

9

9

9

9

9

9

9

9

9

9

9

9

9

9

9

9

9

9

9

9

9

9

9

9

9

9

9

9

9

9

9

9

9

9

9

9

9

9

9

9

9

9

9

9

9

9

9

9

9

9

9

9

9

9

9

9

9

9

9

9

9

9

9

9

9

9

9

9

9

9

9

9

9

9

9

9

9

9

9

9

9

9

9

9

9

9

9

9

9

9

9

9

9

9

9

9

9

9

9

9

9

9

9

9

9

9

9

9

9

9

9

9

9

9

9

9

9

9

9

9

9

9

9

9

9

9

9

9

9

9

9

9

9

9

9

9

9

9

9

9

9

9

9

9

9

9

9

9

9

9

9

9

9

9

9

9

9

9

9

9

9

9

9

9

9

9

9

9

9

9

9

9

9

9

9

9

9

9

9

9

9

9

9

9

9

9

9

9

9

9

9

9

9

9

9

9

9

9

9

9

9

9

9

9

9

9

9

9

9

9

9

9

9

9

9

9

9

9

9

9

9

9

9

9

9

9

9

9

9

9

9

9

9

9

9

9

9

9

9

9

9

9

9

9

9

9

9

9

9

9

9

9

9

9

9

9

9

9

9

9

9

9

9

9

9

9

9

9

9

9

9

9

9

9

9

9

9

9

9

9

9